



1/22
JACK A. MANDELMAN, ET AL.
(JPA) FIS920010258US1

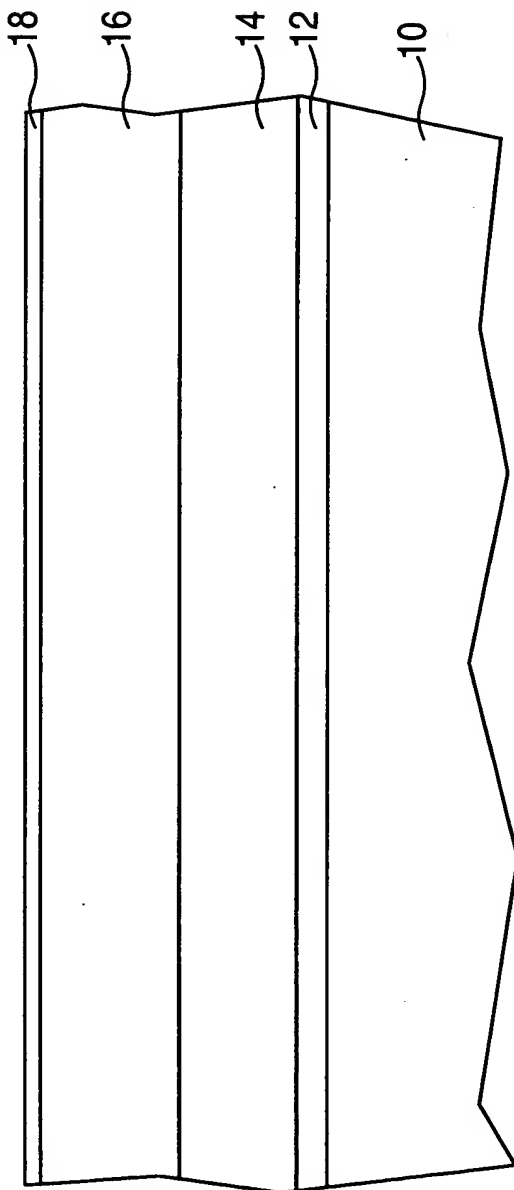


FIG. 1

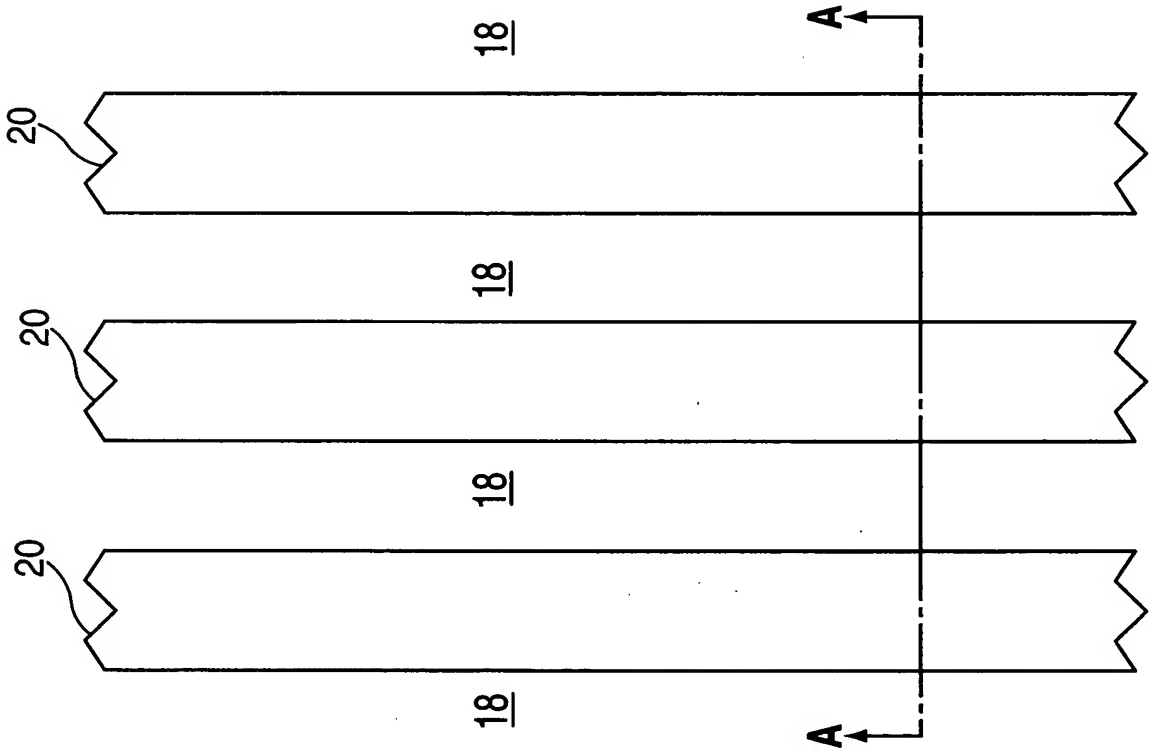


FIG. 2A

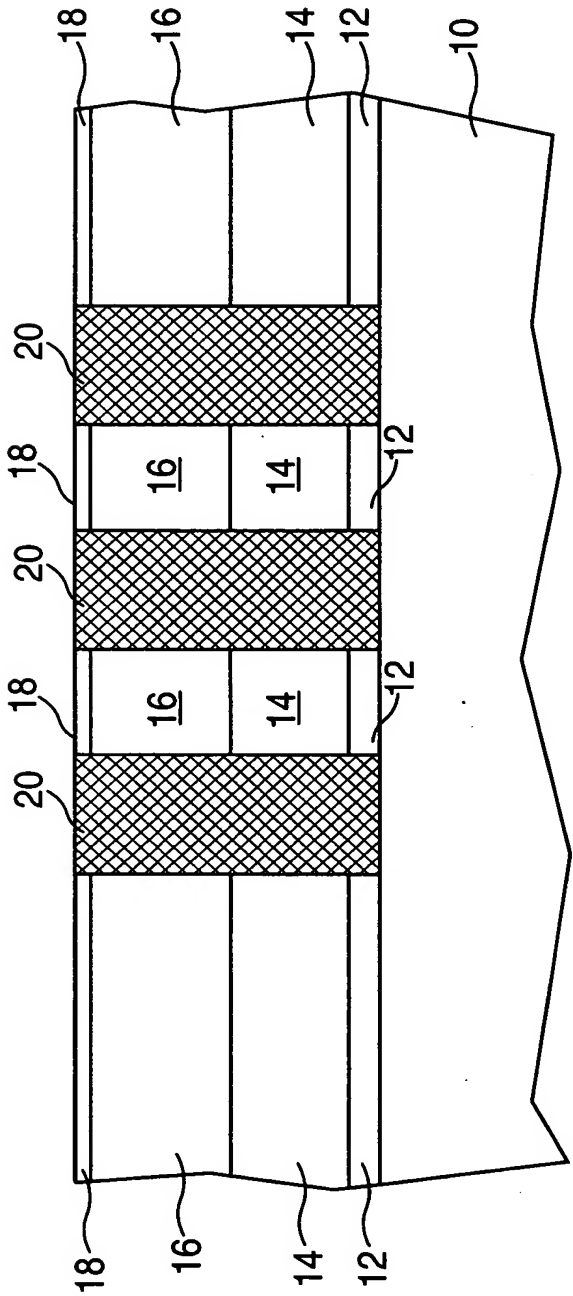
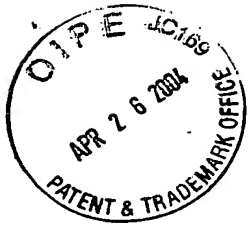
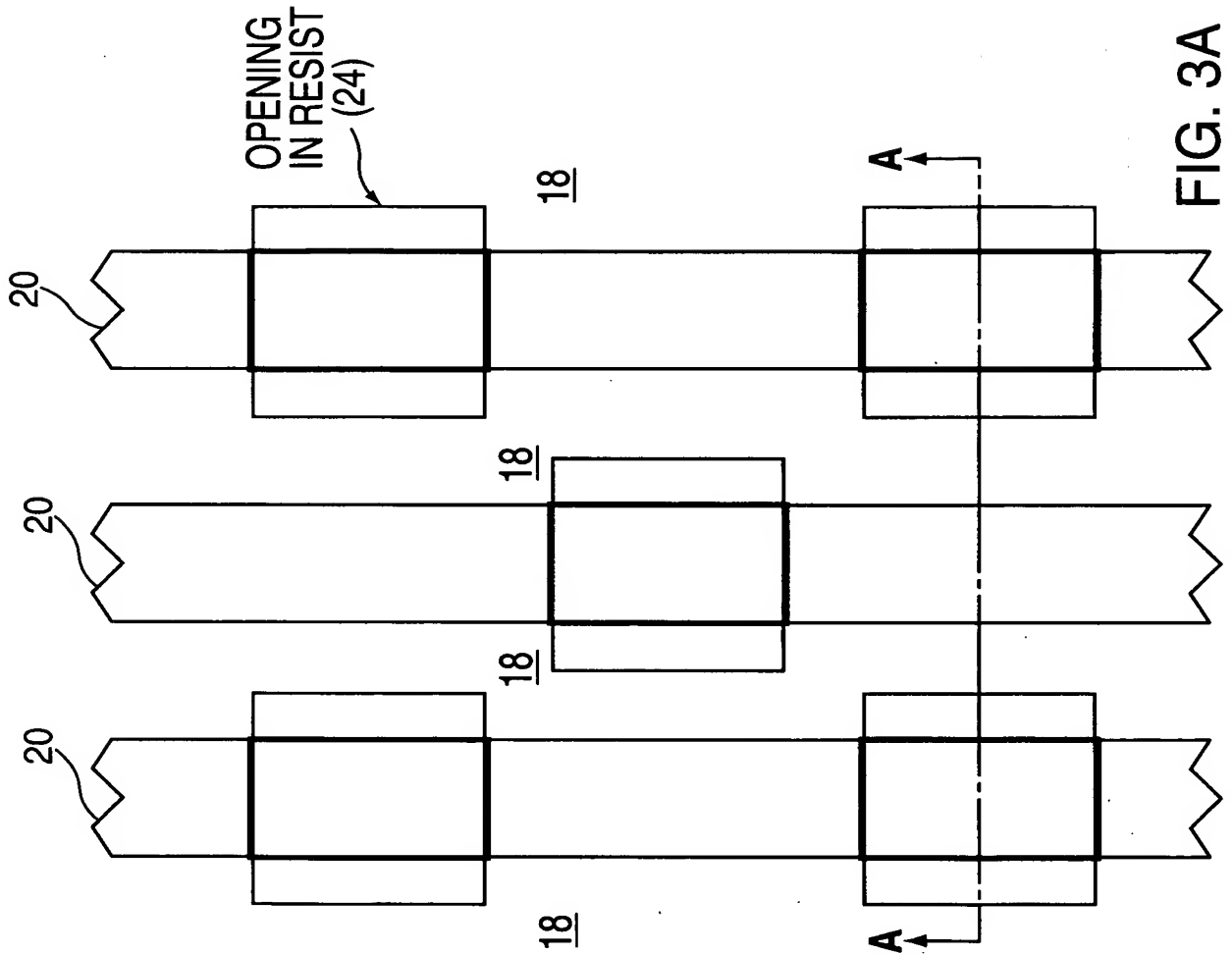


FIG. 2B



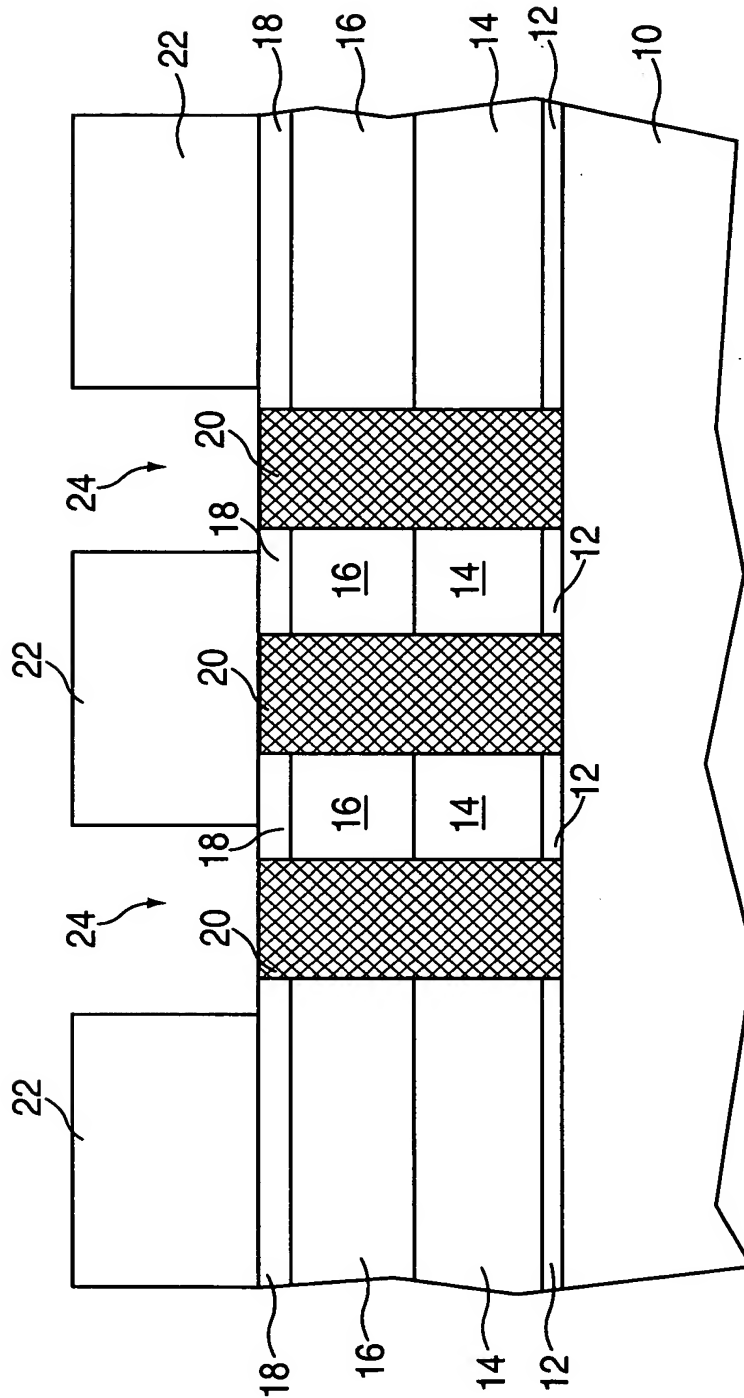
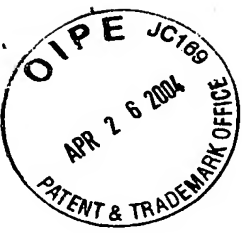


FIG. 3B



6/22
(JPA) FIS920010258US1

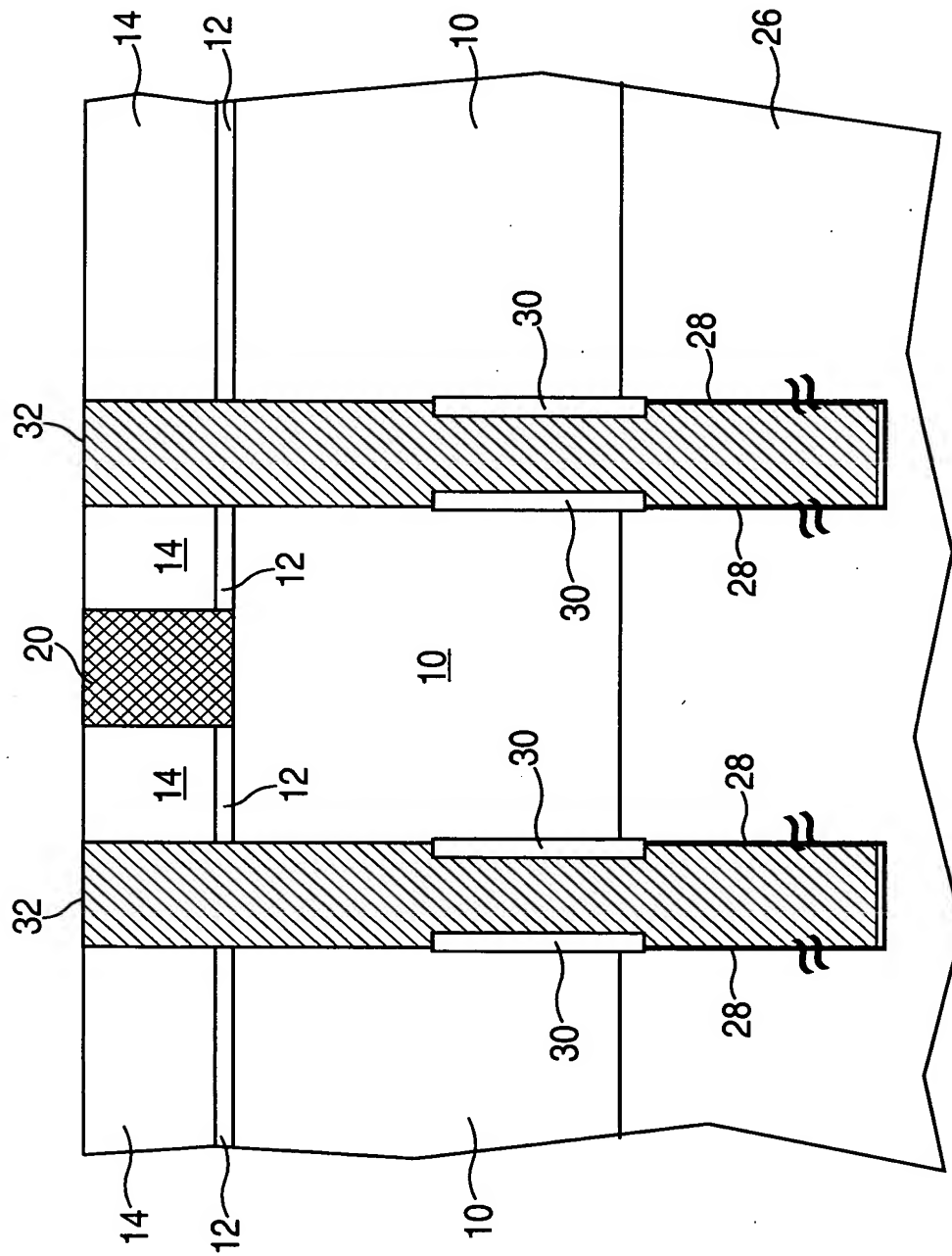


FIG. 4



Fig. 5

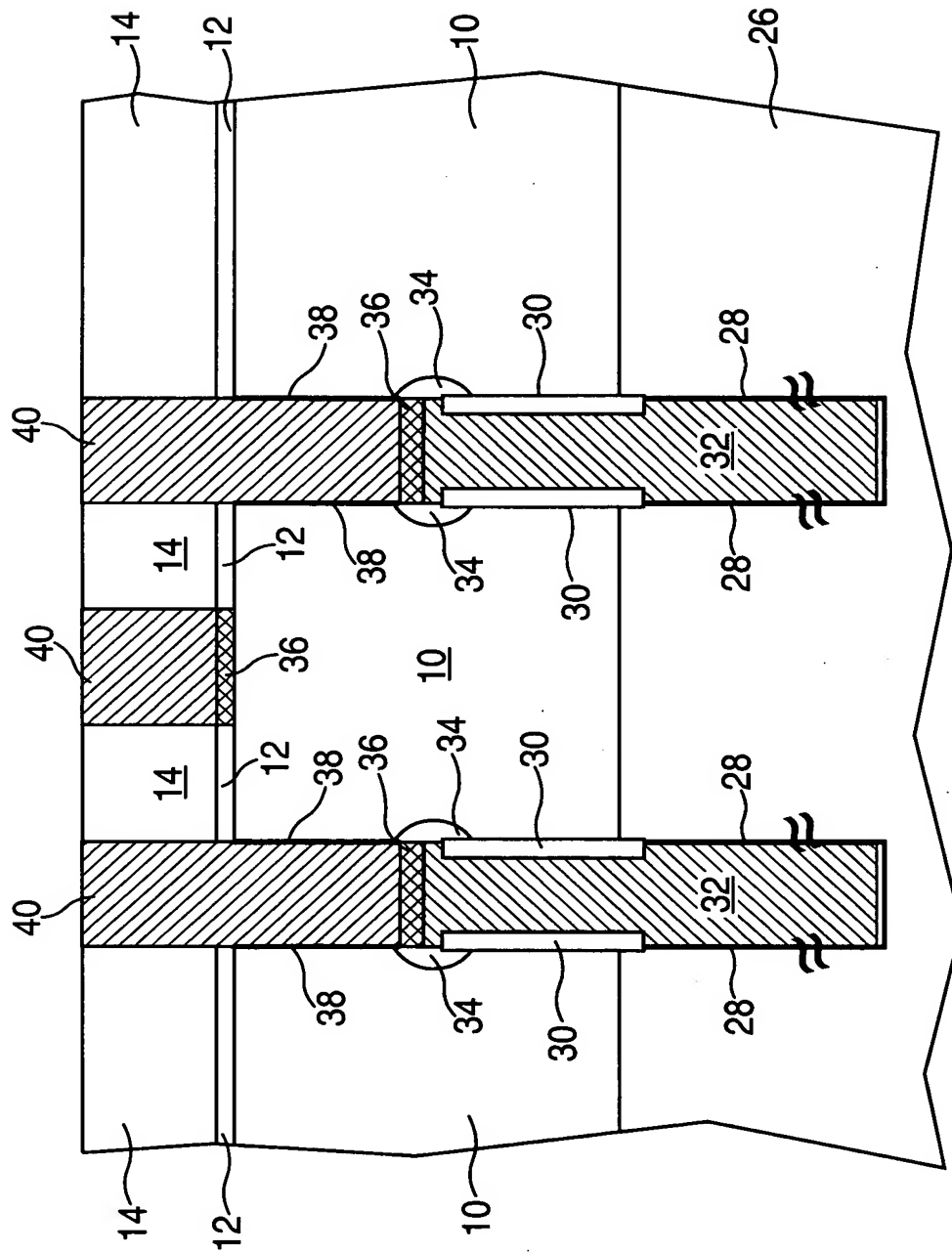
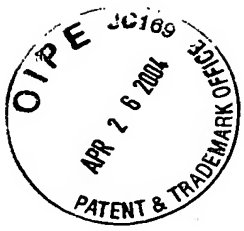
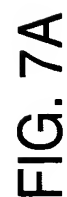
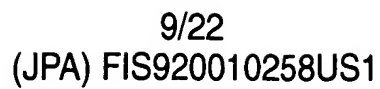


FIG. 6



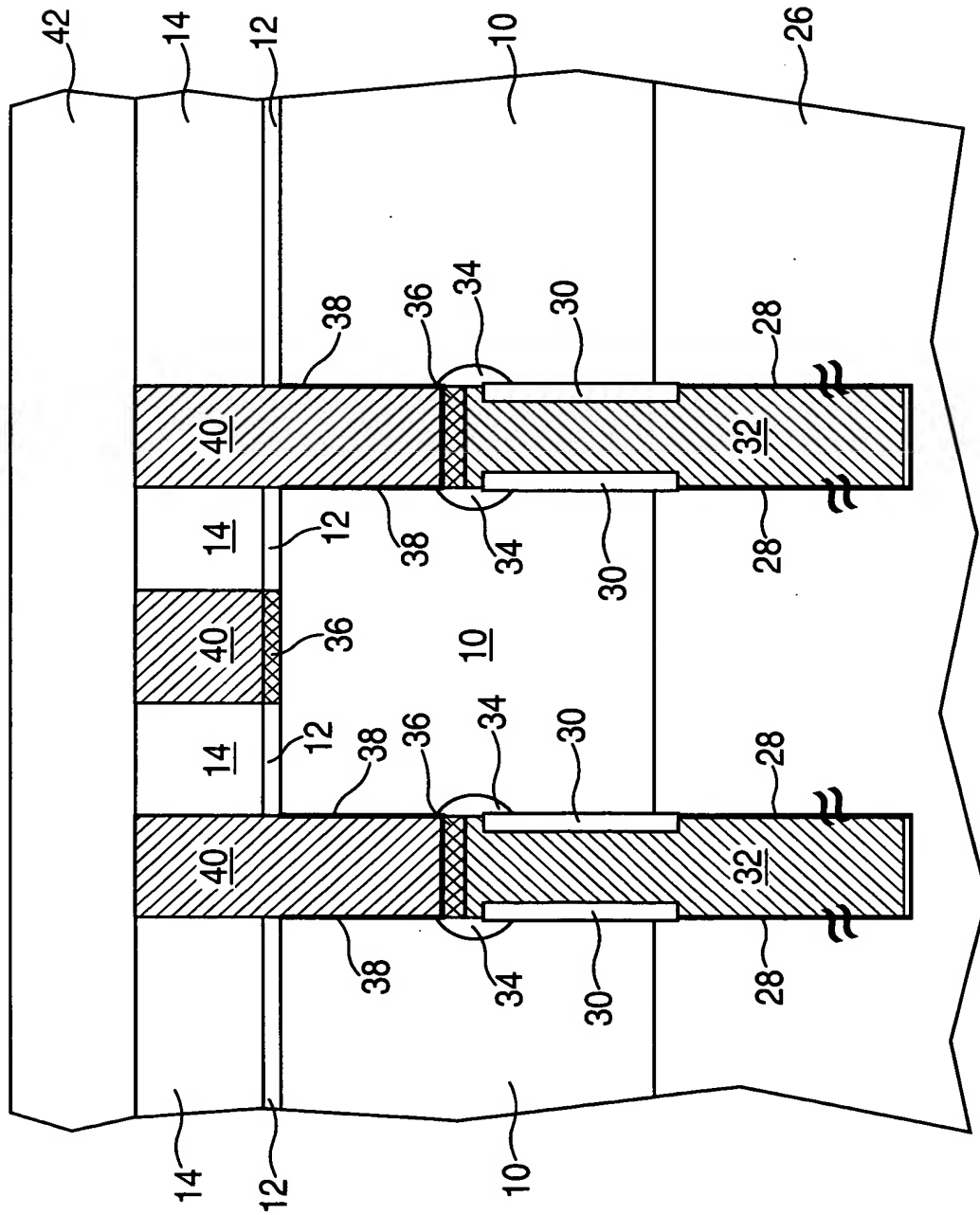
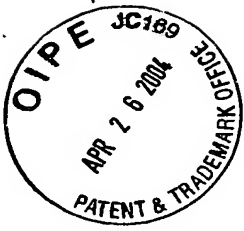


FIG. 7B

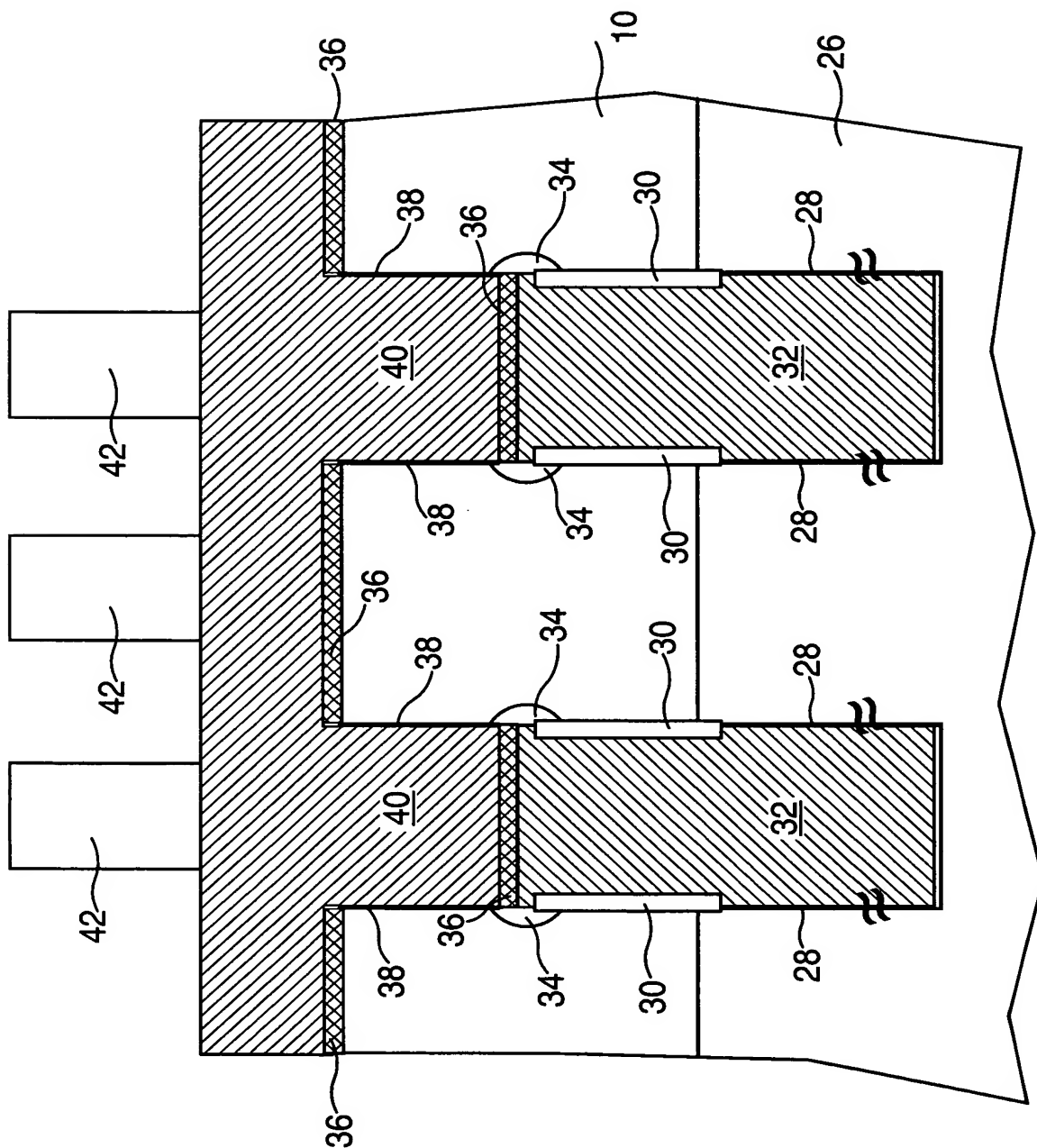
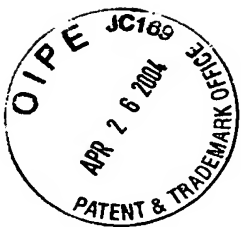
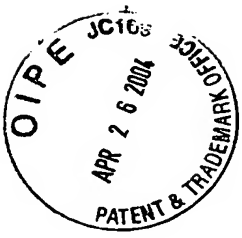


FIG. 7C



12/22
(JPA) FIS920010258US1

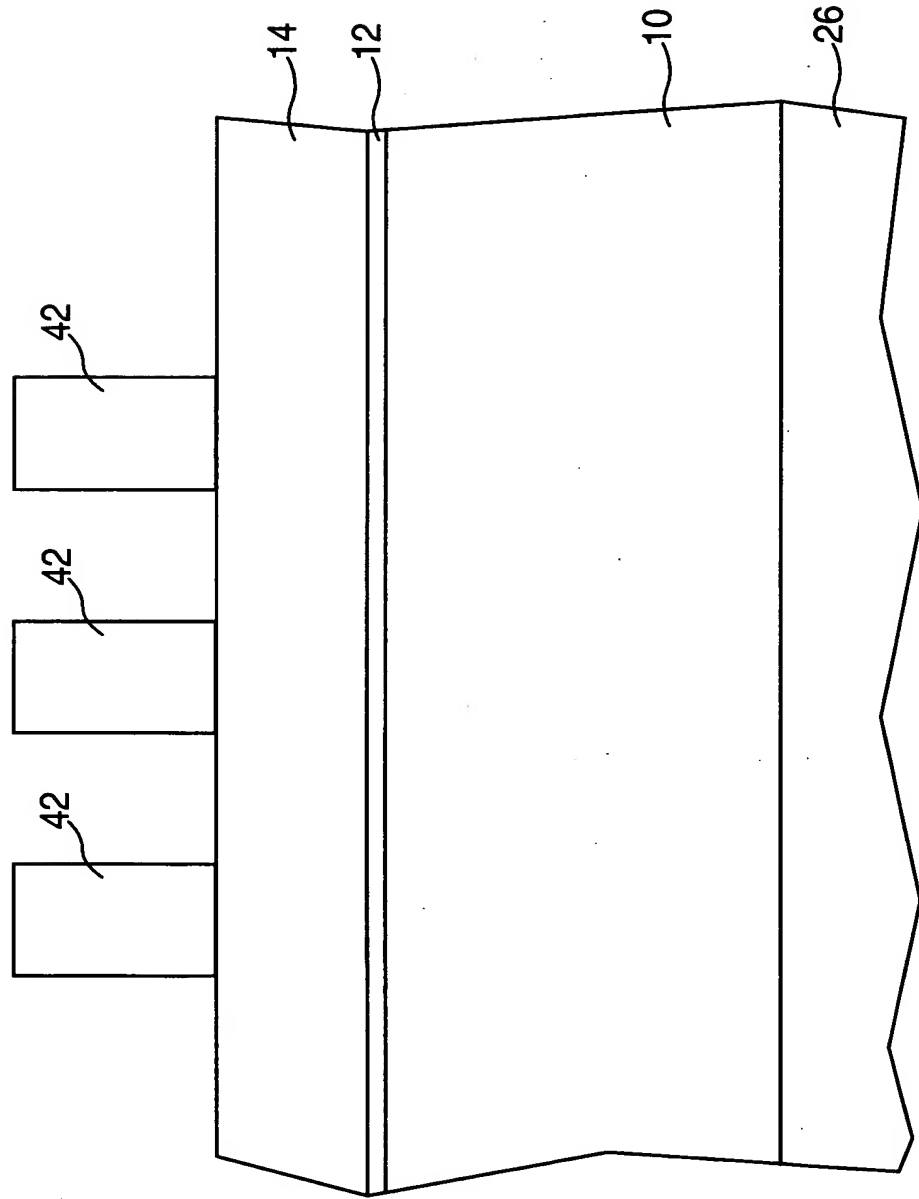


FIG. 7D

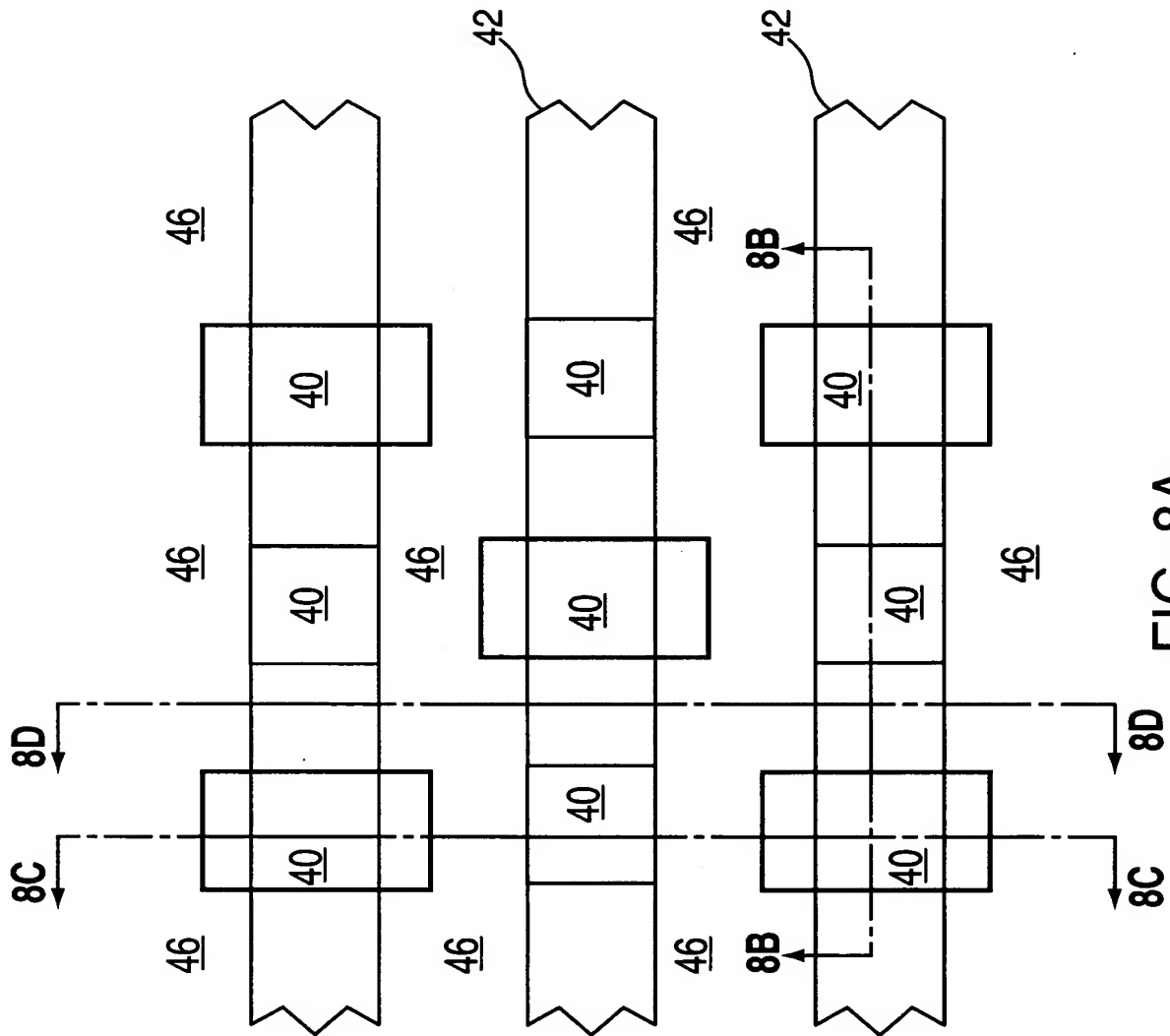
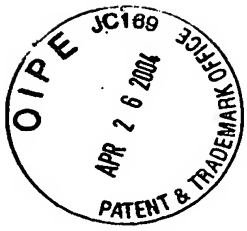
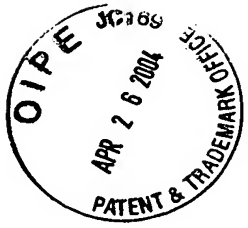


FIG. 8A



14/22
(JPA) FIS920010258US1

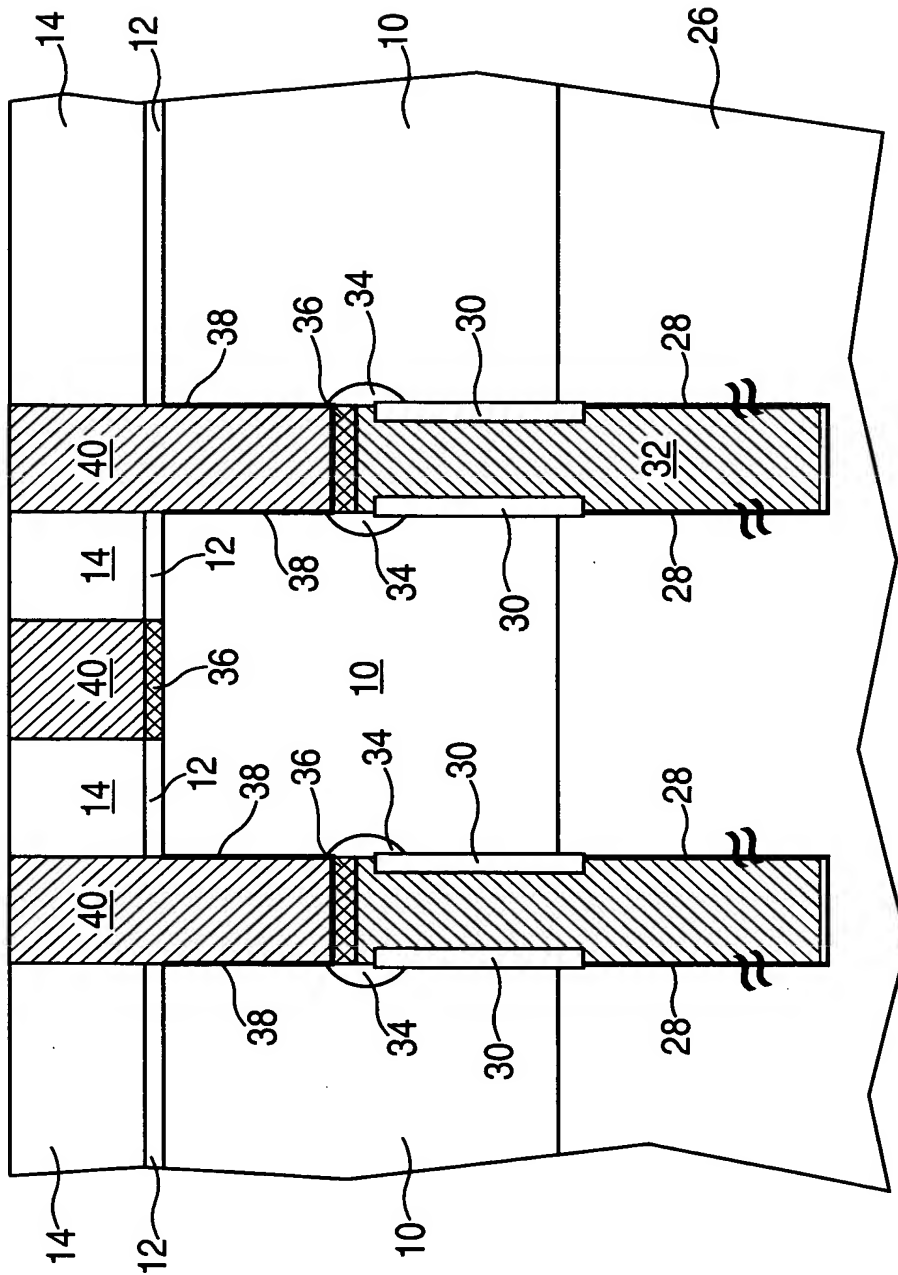


FIG. 8B

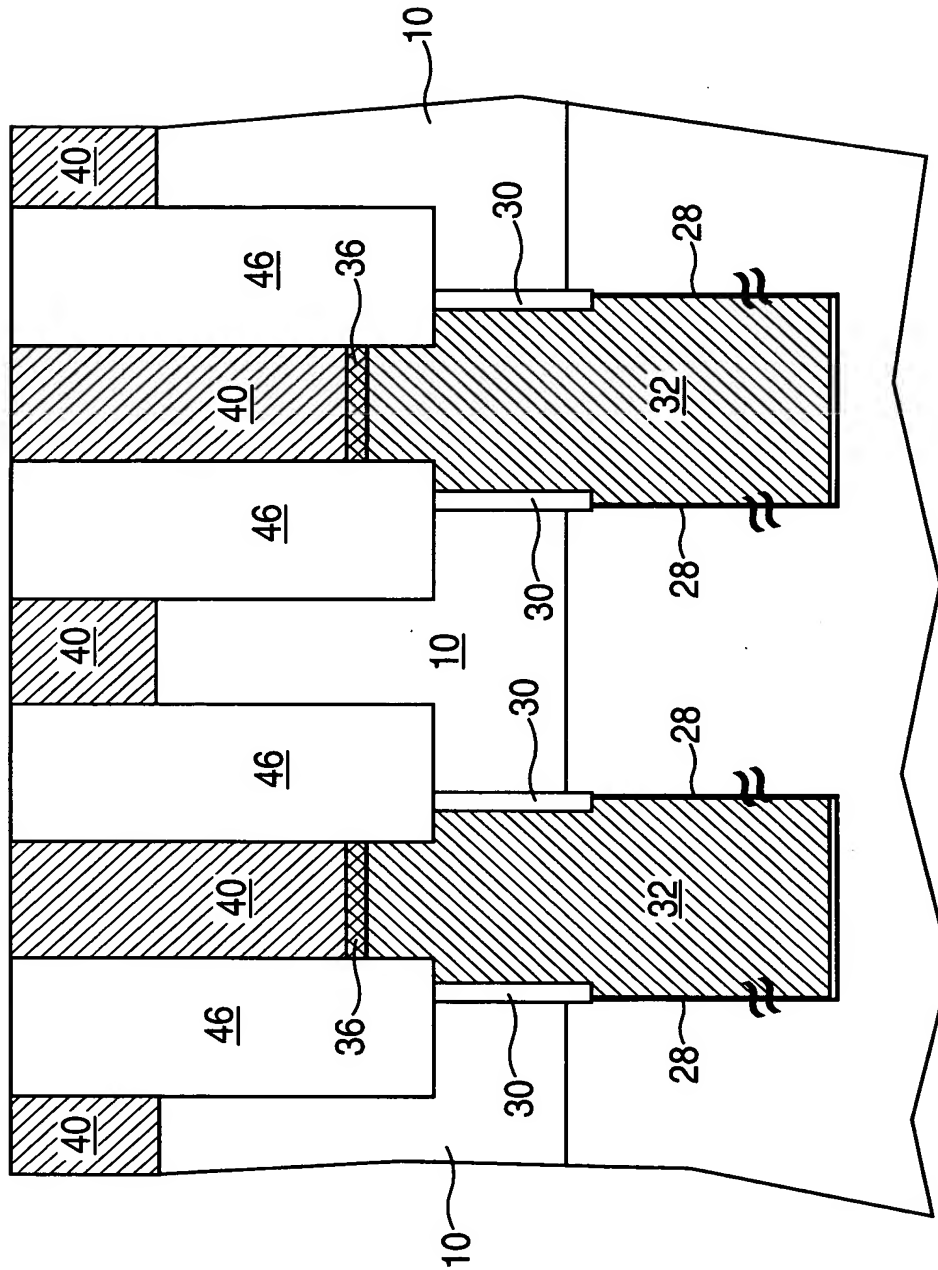


FIG. 8C

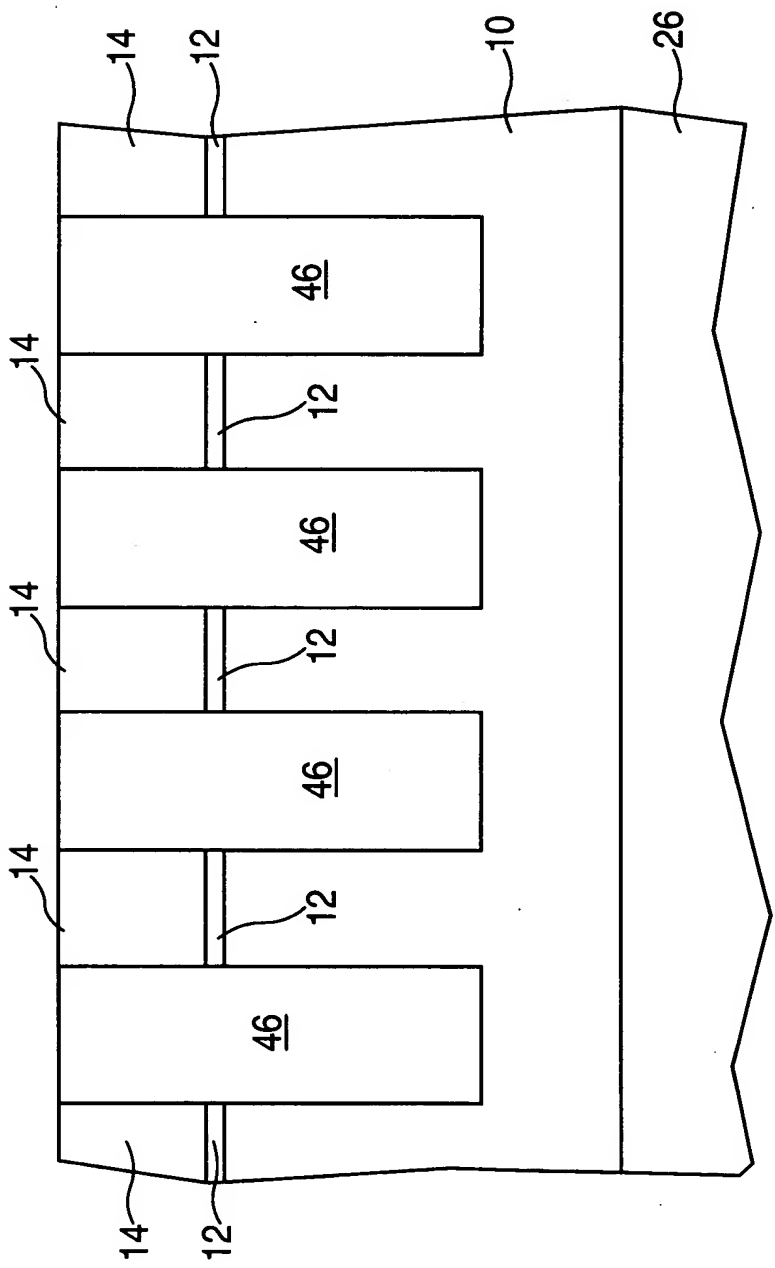
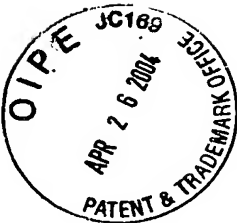


FIG. 8D

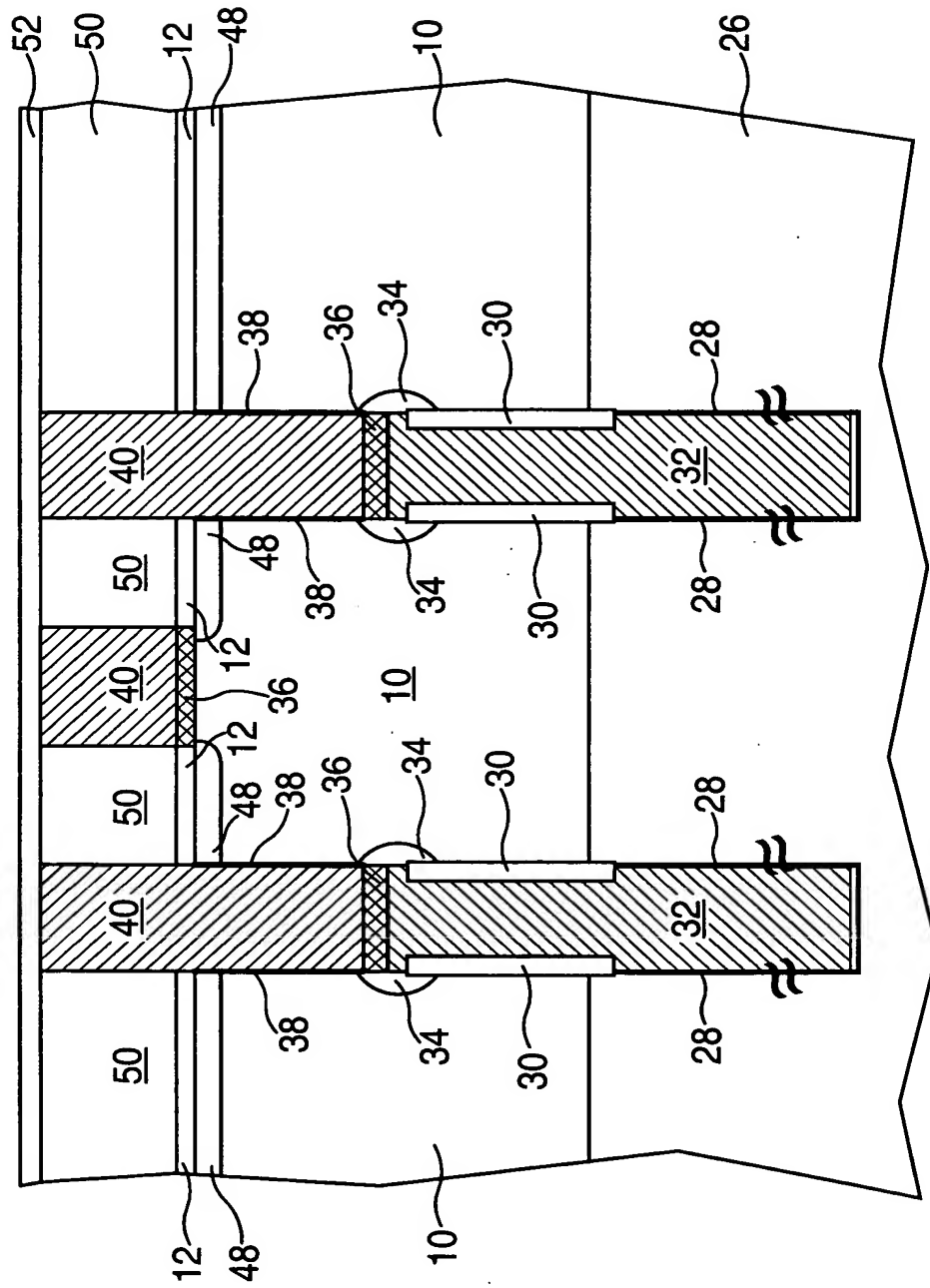
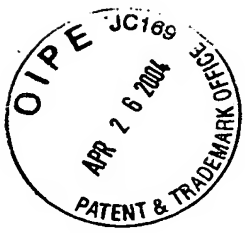


FIG. 9





FIG. 11

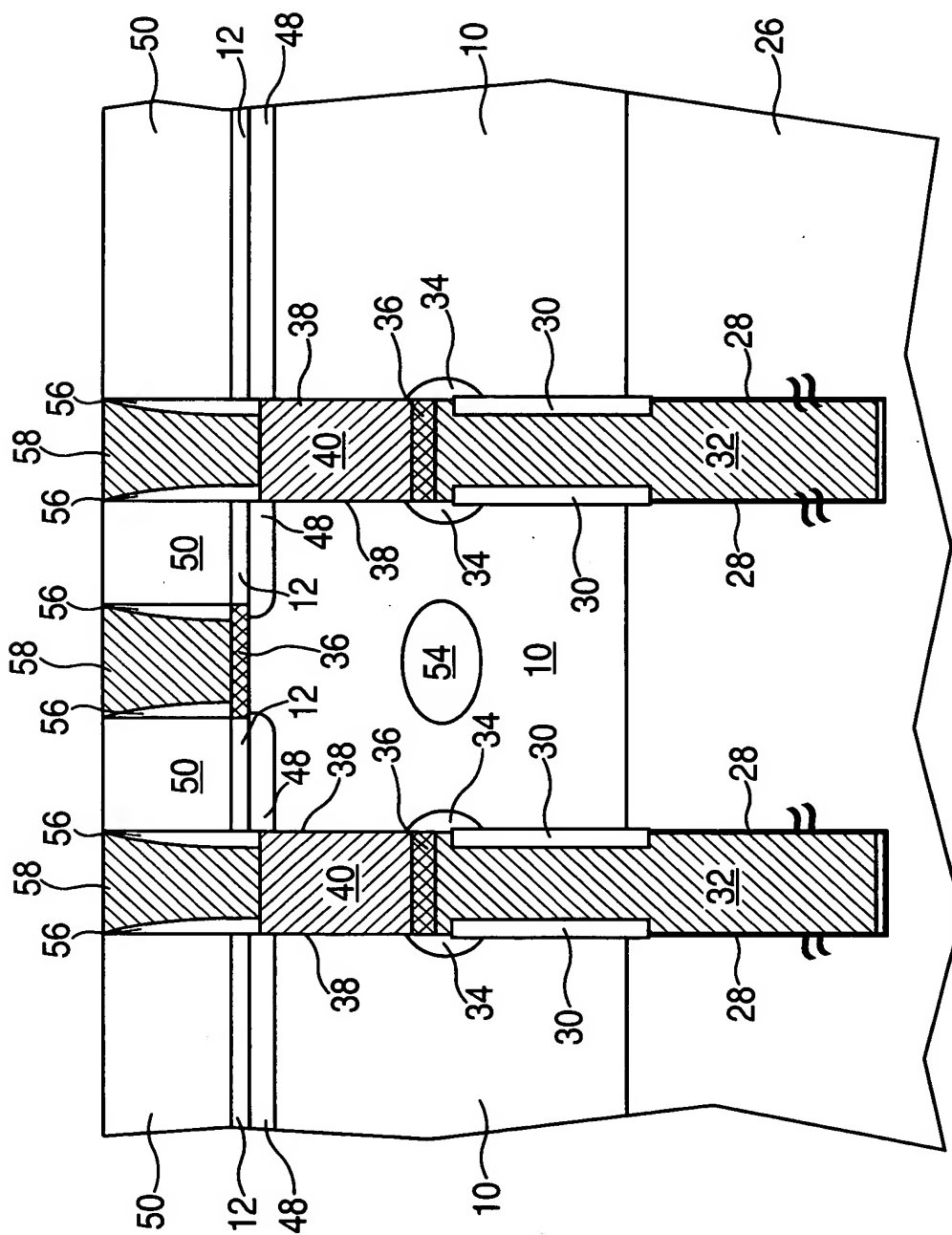


FIG. 12

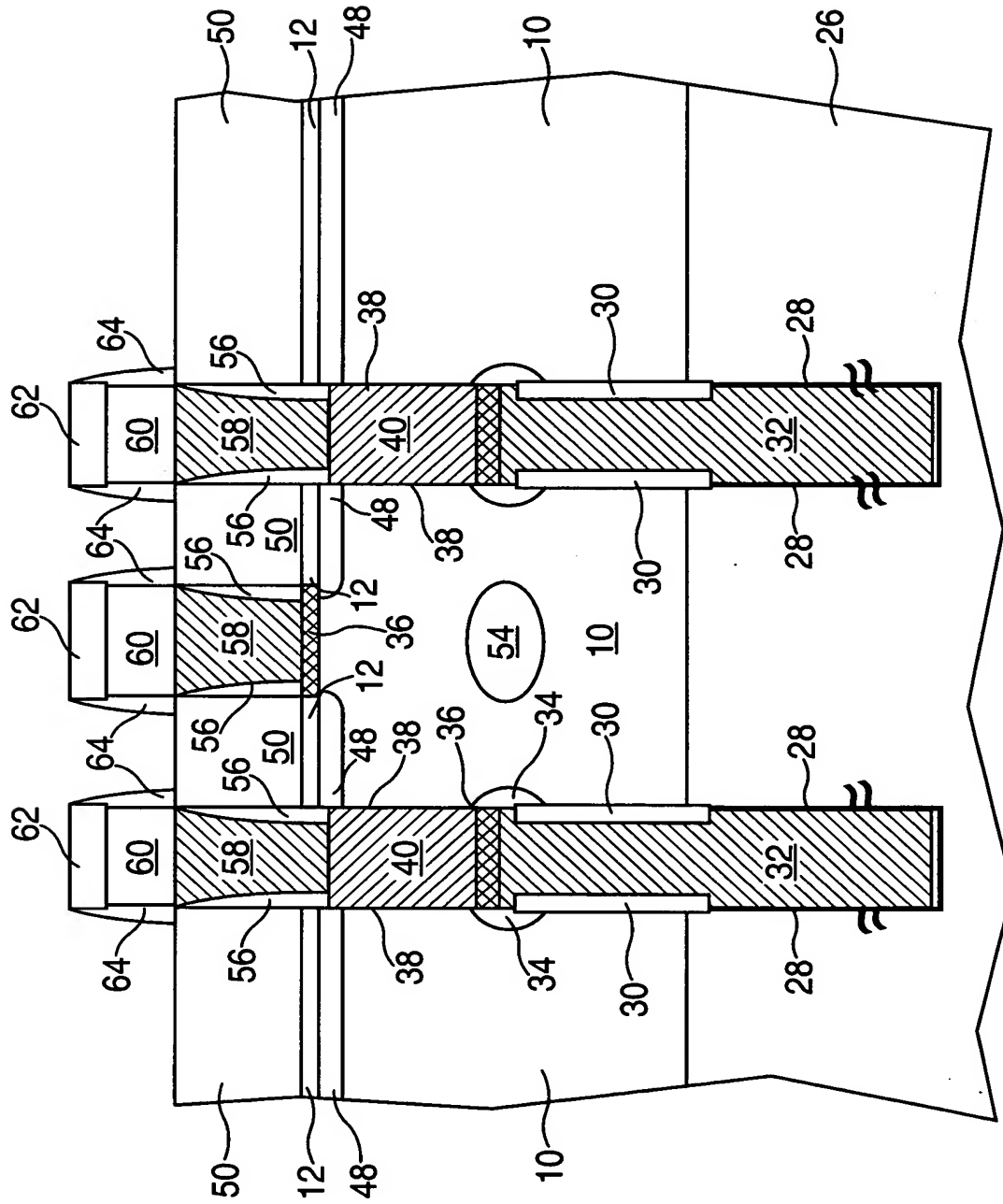


FIG. 13

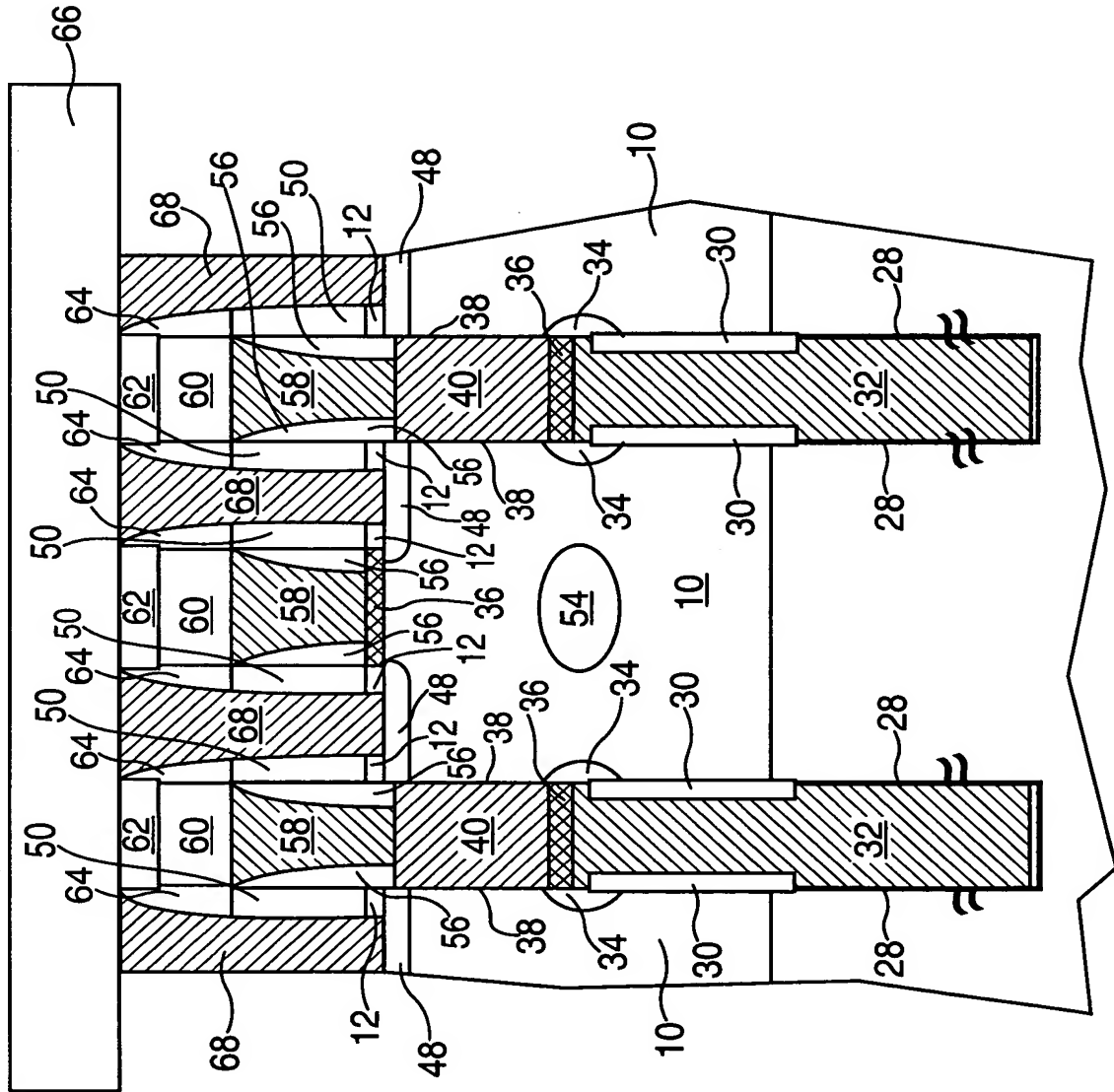
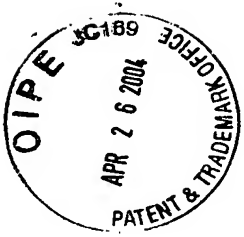


FIG. 14